

## تأثير تأرجح القدرة على أداء المراحلات المسافية

أثير حبش عبوش

ماجستير هندسة (قدرة ومكان)

عبد الغي عبد الرزاق عبد الغفور

قسم الهندسة الكهربائية/كلية الهندسة

جامعة الموصل

### الخلاصة

تعاني المراحلات المسافية من قصور في الأداء بسبب الاضطرابات العابرة التي تحدث عند انتقال القدرة وتتأرجحها إضافة إلى حالات الأعطال المصاحبة لتأرجح القدرة في المنظومات. يتناول هذا البحث تمثيل ونمذجة مرحلة المسافة التقليدية واختبار عملها في حالات تأرجح القدرة المستقر وغير المستقر. كذلك تم نمذجة ومحاكاة مرحلة جديدة تستخدم للكشف عن حالات تأرجح القدرة وتعرف بمرحلة الخروج عن التزامن (Out of Step (OOS)) باستخدام طريقة قياس معدل تغير ممانعة التعقيب الموجب حيث تقوم هذه المرحلة بالاشراف على إشارات الأفلات التي تصدرها المرحلة المسافية و تعمل على كبحها إذا كان تأرجح القدرة مستقر وتسمح لها بالعمل في حالة كشفها لتأرجح غير مستقر و حالة العطل. تم تمثيل ونمذجة هذه المرحلة باستخدام برنامج Matlab Simulink V6.5) واختبر أداء المرحلة على نظام مكافئ ثانوي التغذية. وأظهرت النتائج فعالية هذه الطريقة وسرعة استجابتها في الحد من قصور مراحلات المسافة في الاستجابة للحالات العابرة بسبب تأرجح القدرة. كذلك أظهرت النتائج إمكانية عالية للتمييز بين الأعطال التي تحصل في مدة التأرجح.

## The Effect of Power Swing on Distance Relays Performance

**Abdul Ghani A. Abdul Ghafoor**

Electrical Engineering Department  
College of Engineering  
University of Mosul

**Atheer Habash Abosh**

Master of Power and Machines  
Engineering

### Abstract

The distance relay is suffering from under-reach in its performance. This is because of some transient disturbance, which may happen when the power flows and swings. Besides that the power swings as a consequence of some fault cases. In this paper a new distance relay has been suggested and modeled for detecting stable and unstable power swings.

This relay is known as out of step relay (OOS). The method employed is to measure the rate of change of the positive sequence impedance of the relay which supervise the trip signal that comes out of the distance relay. It allows the distance relay to work, if it detects an unstable power swing or a fault. On the other hand it blocks it if the power swing is stable. The new relay have been modeled and simulated using MATLAB-SIMULINK software programs.

The performance of this relay has been tested on an equivalent two sources system. The results prove that the suggested relay is active and fast. Thus overcoming the limitation of the distance relay in case of under-reach. The results also show that the new relay has the ability in discriminating between the types of faults, that occur during power swings.

**Key Word:** Power swing, Distance relay , Out of step protection technique.

## 1. المقدمة:

تعد دراسة تأرجح القدرة من المسائل البالغة الاهمية في منظومات القدرة الكهربائية في الوقت الحاضر لذا عنيت باهتمام خاص من قبل الباحثين ولا سيما في العقدين الأخيرين وذلك نتيجة لتوسيع الشبكات الكهربائية وترابطها مع بعضها البعض بين بلدان العالم المختلفة.

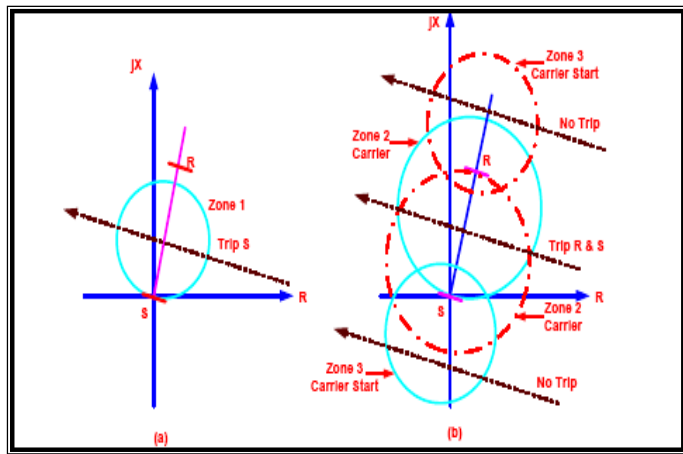
إن البحوث التي درست تأثير تأرجح القدرة على المرحلات المسافية أكدت على طريقة كشف الحالة العابرة في الممانعة الظاهرة المقاسة من قبل المرحلة . وذلك بواسطة إيجاد الفرق بين ممانعتين يتم قياسها باستعمال المرشح من نوع [1] (FIR).

## 2. الاستقرارية وتقنيات الكشف عن تأرجح القدرة :

يمكن تعريف الاستقرارية على أنها قابلية المنظومة الكهربائية على تجهيز قدرة مساوية أو أكبر من قدرة الاضطراب لغرض الإبقاء على حالة توازن المنظومة . والحالة التي يتضاعل بها التأرجح ويدهب إلى حالة الصفر أو نقطة أخرى جديدة قريبة من الصفر تعرف بتأرجح مستقر في القراءة وعلى العكس من ذلك فإذا تفاقم التأرجح وخرج عن النطاق الطبيعي أي أن المنظومة تعاني من حالة (Over damping) فإن هذه الحالة تعرف بتأرجح القدرة غير المستقر . ويمكن تقسيم الاستقرارية إلى ثلاثة أنواع وهي استقرارية الحالة المستقر، الاستقرارية الديناميكية، استقرارية الحالة العابرة.

### 2-1: تأثير تأرجح القدرة على خطوط النقل ومرحلات النظام [1]

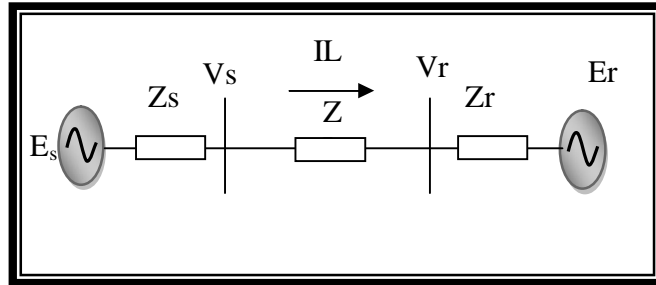
إن فقدان التزامن بين نظام القدرة والمولدات أو نظام القدرة المؤثر على مرحلات خطوط النقل يحصل بطرق متعددة والتنظيمات المطلوبة في حالة كبح تأرجح القراءة أو الفصل الذاتي تكون صعبة الحساب في الكثير من التطبيقات ، كما أن دراسة الاستقرارية في الأنظمة الكبيرة تكون معقدة ويصعب تحديد وكشف احتمالية وصول النظام إلى حالة التأرجح غير المستقرة.



الشكل(1) خواص الكبح الاتجاهية للقطاع الأول وحركة الممانعة عند حصول التأرجح[2]

أن المرحلات المسافية تستجيب لمركبات التعقب الموجبة . وإن ممانعة التعقب الموجب المقاسة عند أطراف المرحلة على الخط في حالة تأرجح القدرة تتغير طبقاً لزاوية القراءة ( $\delta$ ) للволتية المكافئة لكل من النظامين ، وإن قطاع الحماية الأول للمرحلة المسافية الذي يكون التأخير الزمني فيه قليل ، يميل إلى العمل عند حصول أي تأرجح في القدرة ، وبالاعتماد على تنظيم التأخير الزمني للقطاع ، والزمن المستغرق لحركة مسار ممانعة التأرجح خلال خواص المرحلة المسافية . والشكل (1a) يوضح عمل المرحلة المسافية ضمن القطاع الأول عند حركة مسار التأرجح على خواص المرحلة المسافية. في حين أن الشكل (1b) يوضح خواص كبح المقارنة الاتجاهية وكيفية تأثيرها بموقع التأرجح.

2-2: الممانعة المقاسة من قبل المرحلة المسافية أثناء حصول تأرجح بالقدرة [2]:  
عندما يعمل النظام في وضع خارج عن حالة الاستقرارية ، فإن المرحلة المسافية سوف تتحسس في هذه الحالة على أساس أنها عطل طوري ، إذا كان مسار التأرجح يقطع خواص المرحلة المسافية [2].



الشكل (2) نظام ثانوي التغذية

ولبرهنة هذه الحالة ، نلاحظ أن الممانعة التي تقيسها المرحلة المسافية أثناء حالة التأرجح لنظام ثانوي التغذية البسيط ومن الشكل (2) يمكن حساب التيار  $I_L$  من العمومي  $S$  ، كما يأتي:

$$I_L = \frac{E_s - E_r}{Z_s + Z_L + Z_r} \quad \dots (1)$$

إن اتجاه التيار الذي يسري في المنظومة سيفي بمحافظة على اتجاهه أثناء حدوث التأرجح في القدرة، ما لم يحصل تغير في اتجاه الفولتية. وأن الممانعة المقاسة من قبل المرحلة عند العمومي  $S$  ستتساوي.

$$Zre = \frac{Vs}{I_L} = \frac{E_s - I_L Z_s}{I_L} = \frac{E_s}{I_L} - Z_s = \frac{Es(Z_s + Z_L + Z_r)}{Es - Er} - Z_s \quad \dots (2)$$

ولنفرض أن الفولتية  $Es$  تتقدم على الفولتية  $Er$  بزاوية  $(\delta)$  وان النسبة  $(Es/Er)$  تساوي  $k$  لذا سنحصل على الآتي:

$$\frac{Es}{Es - Er} = \frac{k(\cos\delta + j \sin\delta)}{k(\cos\delta + j \sin\delta) - 1} = \frac{k[(k - \cos\delta) - j \sin\delta]}{(k - \cos\delta)^2 + \sin^2\delta} \quad \dots (3)$$

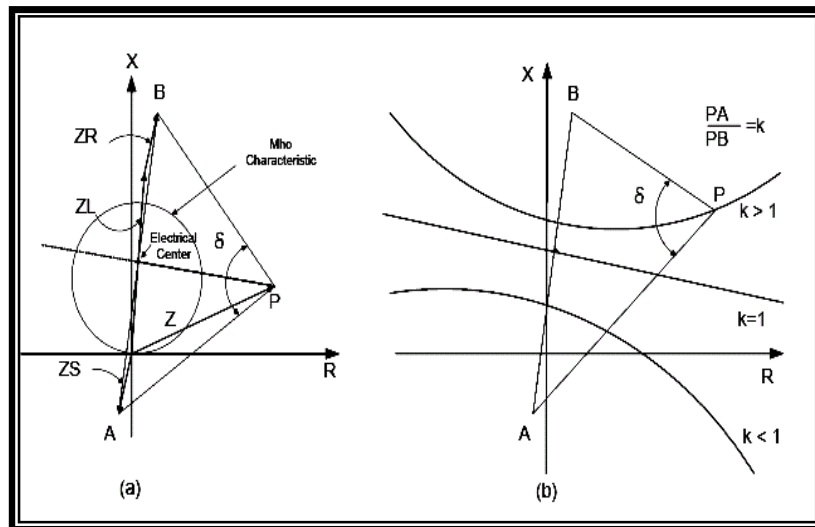
وفي حالات خاصة عندما تتساوى القيمة المطلقة لفولتية المصادرين أي أن  $k$  يساوي واحد سنحصل على الآتي:

$$Zre = \frac{Vs}{IL} = \frac{(Zs + ZL + Zr)}{2} \left(1 - j \cot \frac{\delta}{2}\right) - Zs \quad \dots (4)$$

وأخيراً فان الممانعة المقاسة من قبل المرحلة المسافية ستكون كالتالي :

$$\frac{Es}{Es - Er} = \frac{1}{2} \left(1 - j \cot \frac{\delta}{2}\right) \quad \dots (5)$$

مع العلم أن الزاوية  $\delta$  هي زاوية فرق الطور بين المصادرين ، هناك ترجمة هندسية للمعادلة (5) والتي تمثلت بالشكل (3). تبين إن مسار الممانعة المقاسة من قبل المرحلة أثناء التأرجح حيث أن الزاوية بين فولتية المصادرين تتغير طبقاً للخط المستقيم الذي يقطع الجزئين A و B في نقطة المنتصف وهذه النقطة تسمى المركز الكهربائي للتأرجح. وتكون الزاوية بين الإشارتين التي تربط النقطة P بكل من A و B متساوية لزاوية  $(\delta)$ . وعندما تصل الزاوية  $(\delta)$  إلى  $180^\circ$  فان الممانعة ستقع في المركز الكهربائي للتأرجح [3,1].



الشكل (3) مسار الممانعة عند حصول حالة التارجح [1]

### 2-3: تقنيات الكشف عن تأرجح القراءة :

#### 1-3-2: طريقة معدل تأرجح القدرة (طريقة أـ PSB و OST ) [2]

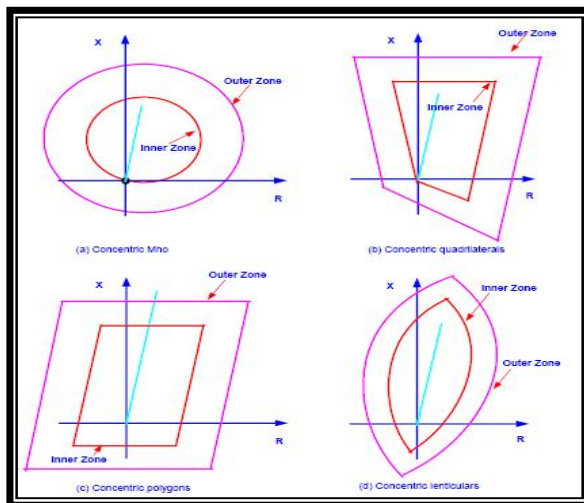
إن مخططات كبح تأرجح القدرة (PSB) تستند في معظمها على قياس ممانعة التتابع الموجب في موقع المرحلة، عند ظروف التشغيل الطبيعية للنظام ، وان الممانعة المقاسة من قبل المرحلة تكون متساوية لممانعة الحمل ، وموقع هذه الممانعة يكون بعيداً عن خواص التشغيل للمرحلة المسافية. أما عند حصول العطل ، فان الممانعة المقاسة تنتقل بسرعة من موقع ممانعة الحمل إلى موقع آخر يمثل ممانعة ذلك العطل. وعندما يكون النظام في حالة العطل فان معدل تأرجح الممانعة المنظورة من قبل المرحلة يحسب أولاً بجمع الإشارة المترشحة في المرحلة . أما عندما يكون النظام في حالة التأرجح ، فان الممانعة المقاسة تنتقل بصورة أبطأ مما هي عليه في حالة العطل في مخطط (RX) للممانعة ، ومعدل تغير سرعة انتقال الممانعة يعتمد على تردد الانزلاق (Slip frequency) لنظام مكافئ مغذي من جهتين . وفي هذه التقنية يستعمل الفرق بين معدل تغير الممانعة في حالة العطل ، وفي حالة تأرجح القدرة للتمييز بين العطل وتأرجح القدرة وإلتمام هذه الطريقة وتحديد الفرق يتم اختيار خاصيتين لممانعة نموذجية متمركزة تفصلها مسافة ( $\Delta Z$ ) في مستوى الممانعة ، ويستعمل مؤقت لتحديد وقت انتقال الممانعة بين هاتين الخاصيتين . فإذا قطعت الممانعة المقاسة كلاً الخاصيتين المتمركزيتين حول نقطة الأصل في مخطط المستوى المعقد (Complex Plane) قبل انقضاء زمن المؤقت ، فإن المرحلة ستصنف هذا الوضع على أنه عطل في النظام ، ومن جهة أخرى فإذا انقضى زمن المؤقت والممانعة المقاسة ، لم تقطع كلاً الخواص الداخلية والخارجية ، فإن المرحلة ستصنف الحدث كأنه حالة لتأرجح حاصل في القدرة [3,2,1].

#### 2-3-2 : مخططات الخواص المتمركزة وأنواعها [2]

إن أبسط طريقة لقياس معدل تأرجح الممانعة تتم بحساب الوقت المطلوب الذي يستغرقه مسار الممانعة للعبور من خلال محددات الخواص للقطاعين الداخلي والخارجي حيث تكون الخواص الخارجية محاطة بالخواص الداخلية . وهذا المخطط ينجز بإضافة خواص نموذجية معيارية . تستعمل بصورة دقيقة كحوال للكشف عن تأرجح القدرة . أو بإضافة خواص ممانعة خارجية تحيط بخواص المرحلة المسافية . ويوضح الشكل (4) الخواص المتمركزة التي تستعمل للكشف عن ظروف تأرجح القدرة وإصدار إشارات الكبح أو الفصل (PSB) أو (Out of Step Tripping)(OST).

إن الفائدة من هذه الخواص المتمركزة تكمن في الكشف عن ظروف تأرجح القدرة واتخاذ القرار من قبل مرحلة الخروج عن التزامن ، وتنتمي قبل دخول مسار الممانعة في الخواص التشغيلية للمرحلة المسافية ، وهذا يعود بالفضل إلى تنظيم الخواص الداخلية لمرحلة الكشف بطريقة ، بحيث تكون أكبر من خواص عمل المرحلة المسافية ، أي

يعنى أن تكون أكبر من خواص التشغيل لآخر قطاع محمي. ويكون التنظيم الرئيسي للمرحلة محدوداً بتنظيم الحدود الخارجية ، والتي تكون محكمة بزاوية (δ) فضلاً عن التنظيم الزمني بين الحدود الداخلية والخارجية. وان العائق الذي يحدد طريقة الدوائر المتمركزة هو الخواص الخارجية لمرحلة الكشف والتي يجب أن لا تتخطى ممانعة الحمل . وهذا يعني أن هذه الطريقة محدودة بمانعة الحمل المنقل عبر خط النقل خارج الخواص الخارجية للمرحلة ، أو قد تكون خواص مرحلة الكشف محددة ببلوغ ممانعة التنظيم للقطاع الأخير . وهناك محددات أخرى لمرحلة الكشف ذو الخواص المضلعة المتمركزة ، وهو أن بلوغ المقاومة للخواص الخارجية قد لا يصل إلى ممانعة الحمل. وهذا التحدي يظهر جلياً عند استعمال هذه الخواص للخطوط الطويلة والمحمولة بصورة كبيرة [2,1] .



الشكل (4) خواص آلة OST و PSB للمتركة للحماية المسافية [2]

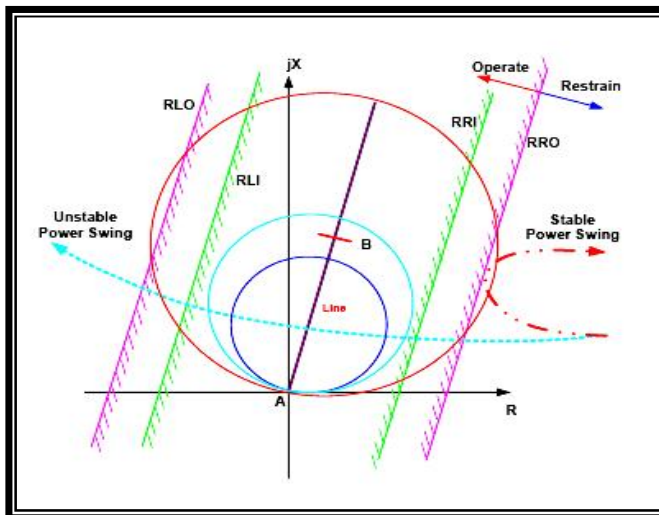
### 3-3-2: مخطط الحاجبين (Two-Blinder Scheme):

يوضح الشكل (5) مخطط الحاجبين الذي يستند على نفس المبدأ في قياس الوقت الذي يستغرقه مسار الممانعة للانتقال بين الحاجبين وقطع المسافة ( $\Delta Z$ ) المحددة التي تفصل بينهما . وببدأ قياس الزمن عندما يقطع مسار الممانعة المنتقلة الحاجز الخارجي الذي يمثل الخواص الخارجية للمرحلة ، ويتوقف عندما يقطع الخواص الداخلية. فإذا كان الزمن المقاس بين الحاجبين أقل من زمن التنظيم لكشف تأرجح القراءة ، فإن هذا الوضع سيصنف على أساس أنه تأرجح في القراءة . ومن الفوائد المهمة في طريقة الحاجبين المستعملة في الكشف عن تأرجح القدرة إمكانية استخدامها دون اللجوء إلى خواص المرحلة المسافية . وفضلاً عن ذلك، فعندما يكون مسار الممانعة بين الحاجبين أي في منطقة ( $\Delta Z$ ) ، فإن مراحل الحماية يمكن أن تمنع من إصدار إشارة الإفلات عند وجود أحmal ضخمة أو حالة تأرجح في القراءة مستقر. وإذا كانت حالة كشف التأرجح غير المستقر في القراءة، فإن المرحلة ستسمح للعناصر المسامية فوراً لإصدار إشارة الإفلات . أو أن الفصل سوف يتاخر، حتى يمر مسار التأرجح داخل خواص مرحلة المسافة . إن إيجاد التنظيمات المضبوطة للحاجب عادة ما تكون صعبة وتتطلب تحليلات معقدة للمنظومة [2,1].

### 3: آلية تمثيل ونمذجة خواص مرحلة الخروج عن التزامن وعملها مع مرحلة المسافة:

#### 3-2: آلية عمل مرحلة الخروج عن التزامن [5]:

إن معظم المراحل المسافية الإلكترونية الحديثة في الوقت الحاضر تلحق بأجزاء إضافية تستخدم للكشف عن ظروف الخروج عن التزامن ، أو الخروج عن الاستقرارية (OOS) ، وذلك لكي تصبح المرحلة قادرة على إصدار إشارة الإفلات بصورة دقيقة فضلاً عن إمكانية كشفها لتأرجح القراءة المستقرة وتمييزها عن حالات التأرجحات غير المستقرة والأعطال التي تستوجب إصدار إشارة الإفلات. وتم تمثيل ونمذجة مرحلة الخروج عن التزامن التي تعتمد في عملها على تقنية الحساب المستمر لمعدل تغير ممانعة التعاقب الموجب في موقع المرحلة ، وقد تم ربط أداء عملها مع المرحلة المسافية وذلك لأن المرحلة المسافية تعتمد على نفس المتغيرات في عملها. ويمكن لمرحلة الخروج عن التزامن أن تعمل مع أي نوع آخر من مراحل الحماية وليس مع المرحلة المسافية فقط.



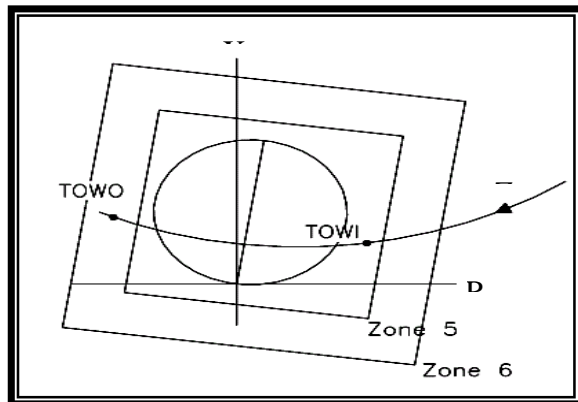
الشكل (5) مشروع الحاجبين لمرحلة الخروج عن التزامن [2]

إن مرحلة الخروج عن التزامن المصممة تتكون من جزئيين جزء يحتوي على وحدات كبح تأرجح القدرة Out-Of-Step Blocking (OSB) والتي تميز بين تأرجح القدرة المستقر، وتأرجح القدرة غير المستقر، وعلى هذا الأساس تقوم بإصدار إشارة الكبح Blocking Signal (Blocking Signal) عند الكشف عن تأرجح مستقر في القدرة، وتقوم بكبح أي إشارة إفلاط يمكن أن تطلق من قبل المرحلة المسافية بسبب هذا التأرجح.

أما الجزء الثاني فيحتوي على وحدات الفصل (OST) وفي هذا الجزء يتم تشخيص حالات تأرجح القدرة غير المستقر، وحالات الأعطال التي تستوجب الفصل ويميزها عن حالات التأرجحات البسيطة والمستقرة حيث تسمح للمرحلة المسافية بالعمل وإصدار إشارة الإفلاط إذا ما تعرضت المرحلة لظروف كهذه [6,5,2] .

إن وحدات الكبح (OSB) تستعمل مضلعان متراكزان حول نقطة الأصل كما هو مبين في الشكل (6) وكلا القطاعين (zone6,zone5) يعتمدان على تغير مسار ممانعة التعقب الموجب ( $Z_{rel}$ ) التي تعد المقياس لعمل المرحلة. والقطاع الخامس الداخلي خاص بالكشف عن تأرجح القدرة غير المستقر والأعطال، في حين يقوم القطاع السادس الخارجي بتشغيل مؤقتين (Two Timers) في حالة تجاوز مسار ممانعة التتابع الموجب المقاومة حدوده الخارجية، والمؤقت الأول يستعمل للكشف عن التأرجح المستقر Out-Of-Step-Blocking Detection (OSBD) في حين يستعمل الآخر للكشف عن التأرجح غير المستقر Out-Of-Step Tripping Detection (OSTD) في حين يستعمل المؤقت (OSBD) يكون أقل من الزمن التنظيمي للمؤقت (OSTD).

ويتم الكشف عن التأرجح المستقر إذا ما تجاوز زمن بقاء مسار الممانعة بين القطاعين الزمني للمؤقت الأول (OSBD) قبل دخوله حدود القطاع الخامس. في حين أن هناك شرطان للكشف عن تأرجح القدرة غير المستقر ، الأول إذا ما تجاوز زمن بقاء مسار الممانعة بين القطاعين الزمني للمؤقت الثاني (OSTD) قبل دخوله خواص التشغيل للقطاع الخامس ، وفي هذه الحالة سيكتشف تأرجح القدرة غير المستقر ويتم إصدار إشارة الفصل. وهذا بسبب الفصل في طريق الدخول Trip-on-way-In (TOWI) والموضح في الشكل (6) . أما بالنسبة للشرط الثاني فإذا انقضى الزمن التنظيمي للمؤقت الثاني (OSTD) وتجاوز مسار الممانعة القطاع الخامس من الجهة العكسية فإن تأرجح القدرة غير المستقر سوف يكتشف في هذه الحالة وتصدر إشارة الفصل . وهذا يكون بسبب الفصل في طريق الخروج Trip-On-the-Way-Out (TOWO)



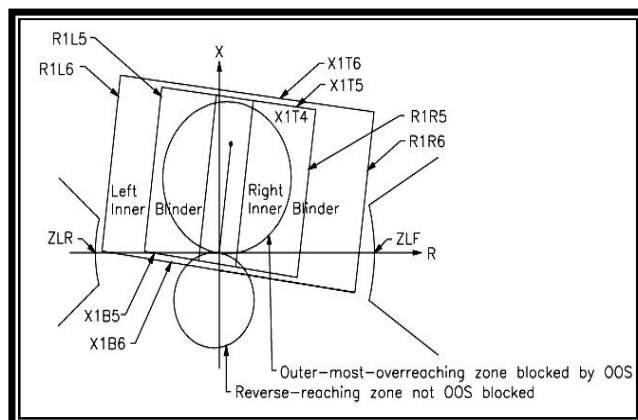
الشكل ( 6 ) : خواص مرحلة الكشف عن تأرجح القدرة (OSBD)

### 2-3: التنظيمات المنطقية لمرحلة الخروج عن التزامن [5]:

إن تنظيم الخواص الخارجية والداخلية لمرحلة الخروج عن التزامن لقطاعين الخامس والسادس تشمل تنظيم الحدود المقاومية والحدود المحاثية وتنظيم زمن المؤقتات وهي كالتالي:

#### 1-2-3: تنظيم الحدود المقاومية (Resistive Binder Setting)

إن الحدود المقاومية ( R1R5,R1L5,R1R6,R1L6 ) هي حدود الخواص الداخلية والخارجية لمرحلة الخروج عن التزامن التي يوضحها الشكل (7). حيث يتم تنظيم الحدود الخارجية ( R1R6 و R1L6 ) اعتماداً على أعظم حمل منقول في المنظومة في كلا الاتجاهين الأمامي والعكسي أما الحدود المقاومية الداخلية لخواص الكشف ( R1R5 و R1L5 ) فيعتمد تنظيمها على أساس أقل زمن مطلوب للقطاع الداخلي ليقوم بالكشف عن تأرجح القدرة المستقر ( OSBD ) . [6,5]



الشكل (7) الخواص الداخلية والخارجية لمرحلة الخروج عن التزامن

وفي الغالب يتم تنظيم الحد الخارجي ( R1R6 ) على نحو أقل من ممانعة أعظم حمل في الاتجاه الأمامي ، وكذلك يكون الحد الخارجي ( R1L6 ) أقل من أعظم ممانعة حمل في الاتجاه العكسي ، وذلك لتلافي حالة تداخل ممانعة الحمل خواص التشغيل لمرحلة الخروج عن التزامن ، ولحساب أعظم ممانعة حمل في الاتجاه الأمامي نقوم بحساب (  $Z_{1LF}$  ) وهي ممانعة التتابع الموجب للحمل ، ومن هذه الممانعة نجد القيمة المقاومية للحد الخارجي لخواص التشغيل لمرحلة ( OSBD ) كالتالي :

$$Z_{1LF} = \frac{V^2}{S_{1F\ MAX}} \quad ... (6)$$

$$R1R6 \leq \frac{Z_{1LF}}{C_1} \quad \dots(7)$$

أما لحساب أعظم ممانعة حمل في الاتجاه العكسي فإننا نوجد الممانعة  $Z1LR$  والتي تساوي أعظم ممانعة حمل في الاتجاه الأمامي  $Z1LF$  ، ثم ننظم الحدود المقاومية للقطاع الخارجي السادس اقل بمقادير (10%) عن حافة أعظم ممانعة ، وتمثل هنا  $C1$  قيمة ثابتة تستعمل لزيادة الدقة في التصميم وتعتمد على طول خط النقل وتحدد كما يأتي [6,5] :

$C_1=1.1$  : للخطوط الأطول من 100 ميل

$C_1=1.2$  : للخطوط بطول بين 50-100 ميل.

$C_1=1.3$  : للخطوط الأقل من 50 ميل .

وللإنعام التصميم نفرض قيمة (OSBD) وهي قيمة تنظيمية تقاس بعدد الدورات التي يفترض أن يكشف التأرجح خلالها ، كذلك نفرض أعظم تردد للانزلاق ( $f_{slip}$ ) والذي يمثل الميل عن التردد الاعتيادي ويعتمد على معاملات الشبكة وعلى أساسه يتم تحديد نوع التأرجح ودرجة خطورته . من خلال ملاحظة الشكل (8) يمكن التوصل إلى الحساب الآتي:

$$\frac{AngR5 - AngR6}{OSBD} \left( \frac{\deg \text{ree}}{\text{cycle}} \right) = \frac{360(\deg/\text{cycle}).f_{slip}(\text{cycle/sec})}{f_s(\text{cycle/sec})} \quad \dots(8)$$

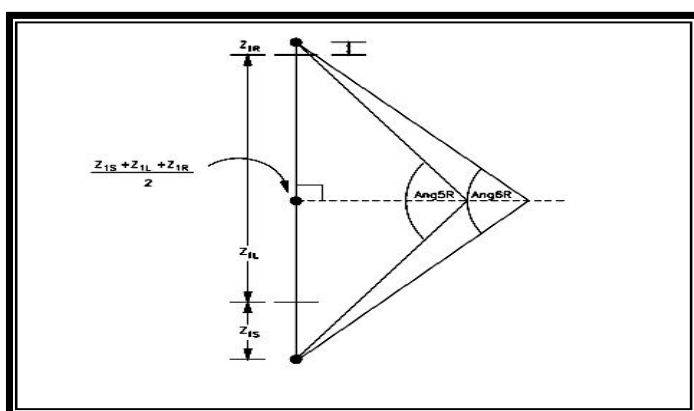
$$AngR5 = \frac{360 (\deg/\text{cycle}).f_{slip}(\text{cycle/sec})OSBD}{f_s(\text{cycle/sec})} + AngR6 \quad \dots(9)$$

$$AngL5 = \frac{360(\deg/\text{cycle}).f_{slip}(\text{cycle/sec}).OSBD}{f_s(\text{cycle/sec})} + AngL6 \quad \dots(10)$$

$$AngR6 = 2.\text{ATAN}\left( \frac{Z_{s1} + Z_{L1} + Z_{r1}}{2.R1R6} \right) \quad \dots(11)$$

$$AngL6 = 2.\text{ATAN}\left( \frac{Z_{s1} + Z_{L1} + Z_{r1}}{2.R1R6} \right) \quad \dots(12)$$

حيث إن  $f_s$  : هو التردد الاعتيادي (المقى) لنظام القدرة إما 50 أو 60 هيرتز.



الشكل (8) تنظيم زوايا الحدود الداخلية والخارجية لمرحلة الخروج عن التزامن [5]

أما لحساب الحدود المقاومية للقطاع الخامس ف تكون كالتالي:

$$R1R5 = \frac{Z_{s1} + Z_{L1} + Z_{r1}}{2.TAN(AngR5/2)} \quad \dots(13)$$

$$R1L5 = \frac{Z_{s1} + Z_{L1} + Z_{r1}}{2.TAN(AngR5/2)} \quad \dots(14)$$

لتلافي تجاوز البلوغ وعدم الدقة في عمل مرحلة الخروج عن التزامن يجب تنظيم حدود المقاومة الداخلية حدود القطاع الخامس المحسوبة هنا (R1R5,R1L5)، بزيادة (10%) عن أكبر مقاومة البلوغ لأخر قطاع محمي من قبل المرحلة المسافية والذي يراد الإشراف عليه بوساطة مرحلة الخروج عن التزامن ، والذي يستوجب الكبح عند حصول حالة التأرجح [6,5].

### 3-2-3: تنظيم الحدود المحاشية (Reactance Binder Setting) [5]

إن الحدود (X1T5,X1B5,X1T6,X1B6) والموضحة في الشكل (7) الحدود المحاشية للقطاعين الخامس والسادس لممرحلة الكشف عن تأرجح القدرة وتكون عمودية على الحدود المقاومية وإن هذه الحدود لا تدخل كثيراً في كشف التأرجح إلا أنها تعتبر مكملة لخواص المرحلة حيث يتم تنظيم الخط (X1T5) على بعد (110%) من آخر قطاع محمي من قبل المرحلة المسافية والذي يراد كبحه عند حصول التأرجح ،فعلي سبيل المثال للإشراف على القطاع الأول والثاني من قبل مرحلة الخروج عن التزامن يكون التنظيم للحد (X1T5) كما يأتي :

$$X1T5=110\% \cdot 120\% * Z_{L1} * (CT_{ratio}/VT_{ratio}) \quad \dots(15)$$

ونفس الحال بالنسبة لحماية القطاع العكسي في حالة الرغبة بالإشراف عليه أثناء تأرجح القدرة ، فيكون تنظيمه الخط (X1B5) كما في المعادلة (15) أي بزيادة (110%) من قيمة آخر قطاع محمي من قبل المرحلة المسافية.

وبطريقة مماثلة يتم تنظيم (X1T6) بزيادة (50%) من الخط (X1T5) ويوازيه الخط (X1B6) بنفس التنظيم من الجهة المقابلة. وعلى الرغم من أن التأرجح في اغلب الأحيان لا يتتجاوز القطاع الخامس والسادس من الأعلى والأسفل . لكن التنظيم يبقى ضرورياً لتلافي الأخطاء في عمل المرحلة ، وتمكيناً لخواص الحدود المقاومية [6,5].

### 3-2-3: تنظيم المؤقت [5]:

يتم تنظيم المؤقت الأول (OSBD) بالاستعانة بالخواص الخارجية والداخلية للحدود المقاومية لمرحلة الخروج عن التزامن وذلك طبقاً للعلاقة الآتية :

$$OSBD = \frac{(Ang5R - Ang6R).f_s(Hz)}{360^0 / cycle.f_{slip}(Hz)} \quad \dots(16)$$

وعادة ما يتم في معظم المنظومات الكهربائية اختيار وقت (OSBD) بين 1 إلى 3 دورات لإتمام عملية الكبح في حين يكون تدريج أو حيز تردد الانزلاق والذي يكون التأرجح فيه ما يزال في حالته المستقرة بين 1 و 5 (دوره /ثانية) [6,5,2,1].

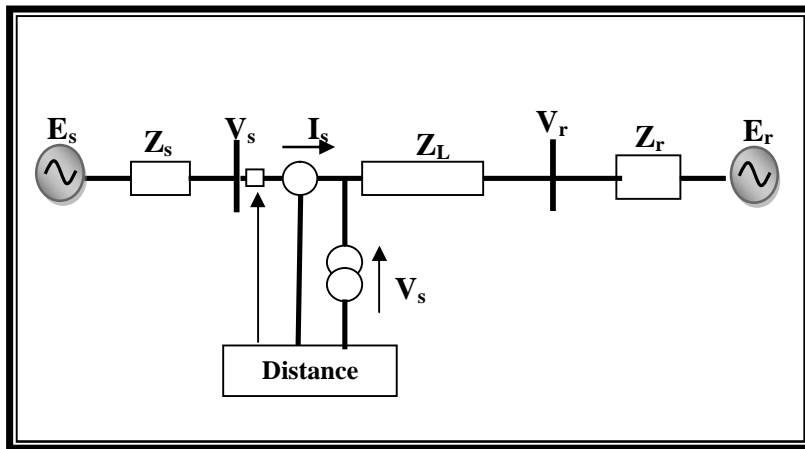
أما بالنسبة لإصدار إشارة المؤقت الثاني (OSTD) فإن التنظيم الزمني للمؤقت يكون أقل من دورة واحدة أي أن التنظيم الزمني لموقت إصدار إشارات الكبح يجب أن يكون أكبر من مؤقت إصدار إشارة الفصل [4,1].

### 3-3: نمذجة وتمثل المرحلة المسافية من نوع المسامية:

إن حماية المسافة هي الطريقة الأوسع والأكثر انتشاراً لحماية خطوط النقل ، ومبداً عمل المرحلة المسافية يكون بالاعتماد على قياس معدل تغير ممانعة التتابع الموجب والتي تكون محسوبة في موقع المرحلة بالاعتماد على القياسات المحلية للفولتيّة اللحظيّة والتيار اللحظي معأخذ زاوية فرق الطور بينهما بنظر الاعتبار كما في الشكل (9) . حيث تستجيب المرحلة إلى الممانعة بين موقع المرحلة وموقع العطل ، والتي تتناسب مثالياً مع المسافة بين موقع المرحلة ونقطة العطل.

إن مراحل المسافة تستخد للقيام بالواجبات الآتية:

- 1- الكشف والتفرق بين حالة العطل وحالة العمل الطبيعي لخط النقل .
- 2- تقوم بقياس ممانعة دائرة القصر .
- 3- إصدار إشارة الإفلات لأي عطل داخلي عند أي نقطة عطل على الخط المحمي من قبلها.
- 4- عدم إصدار إشارة الإفلات لأي عطل خارجي خواص التشغيل الخاصة بالمرحلة أو خارج نطاق العمل [7].



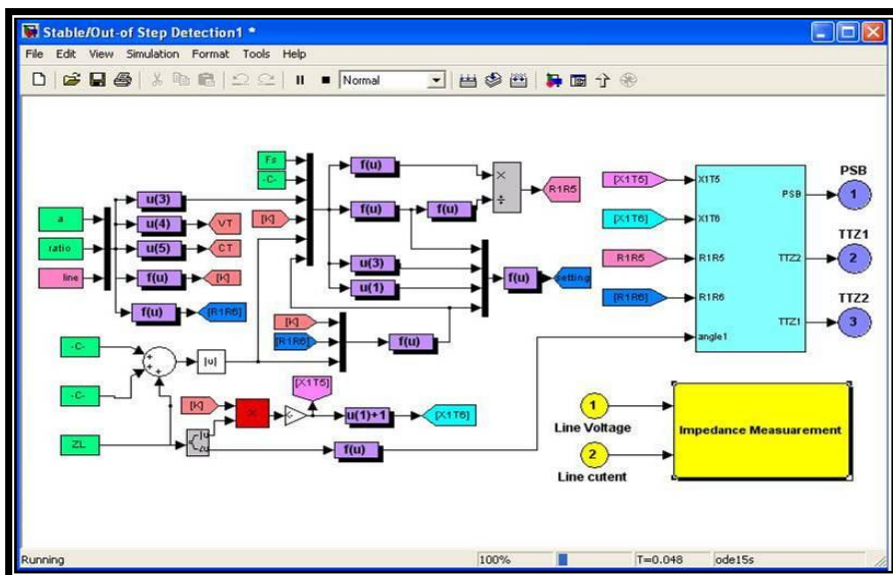
الشكل (9) يوضح موقع المرحلة المسافية عند العمومي القريب من جهة الإرسال

#### 4-3: تمثيل المراحلتين بواسطة الحاسبة:

بعد الإشارة إلى أهم المعادلات الرياضية الدالة في تصميم مرحلة الخروج عن التزامن فقد برمجت هذه المعادلات بالاستعانة ببرنامج الماتلاب ثم تم نمذجتها بواسطة (Matlab/Simulink) وذلك في سبيل اختبار أداء المرحلة على نظام ديناميكي وحركي يشابه الأنظمة الحقيقية ، ولخلق ظروف مضطربة وحالة الأعطال وملحظة استجابة عمل المرحلة مع المرحلة المسافية على إصدار إشارات الإفلات عند الظروف الغير اعتيادية. كما طبقت الدراسة لحماية خط نقل مغذي من جهتين وذلك لأن معظم التطبيقات التي تُعنى بدراسة الكشف عن تأرجح القدرة يتم اختبارها على مثال هذا النوع من الأنظمة. أما إذا تطلب الأمر حماية خط معين في شبكة معقدة ففي هذه الحالة تقوم بإجراء دراسة مفصلة لسريان الحمل (Load flow) في المنظومة ومقدار التحميل الذي يعني منه هذا الخط بعدها يتم إزالة الخط المعني بالحماية من الشبكة ثم يتم اختزال المنظومة بطريقة (ZBus أو YBus) أو أي طريقة أخرى ، وإيجاد المكافئ منها بين نقطتي الخط وتحويلها إلى نظام مكافئ ثانٍ التغفية ، ثم يعاد الخط إلى المنظومة المكافئة الناتجة ويتم تصميم مرحلة الخروج عن التزامن بالاستعانة بالمعطيات الجديدة [3,1] .

#### 4-4-1: تمثيل مرحلة الخروج عن التزامن:

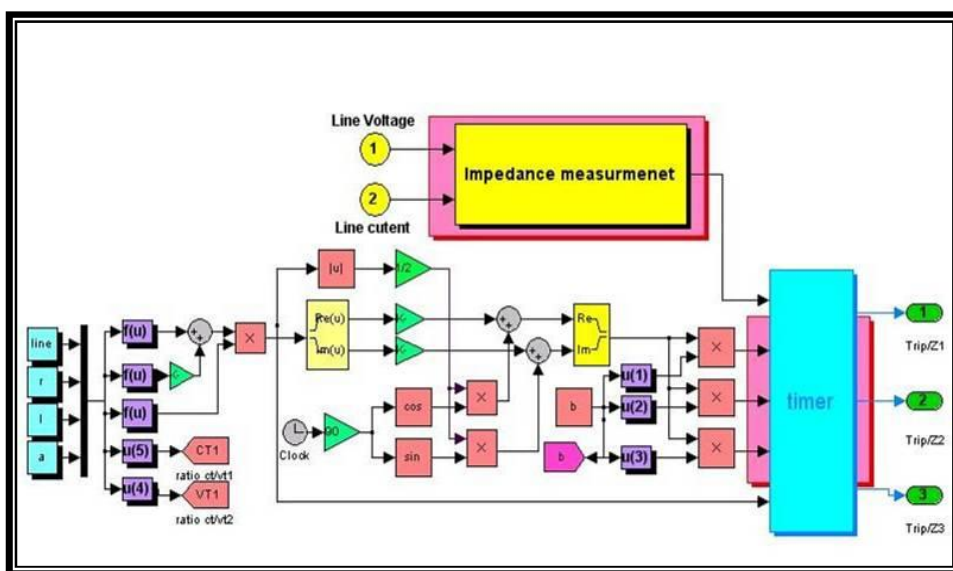
إن تصميم مرحلة الخروج عن التزامن ليس بالأمر السهل إذ أنها تتطلب الكثير من التفاصيل ففي السابق لم يكن من الممكن تصميم هكذا نوع من المراحلات عملياً لذا لم يكن هذا النوع من الحماية معروفاً ، حتى حصل التطور بأنظمة الحماية وظهرت الأجهزة الرقمية الحديثة وأصبح من الممكن تصميم هذا النوع من المراحلات بالاستعانة بالمعالجات والبوابات المنطقية والمؤقتات والمرحلة التي تم تصميمها في هذه الدراسة اعتمدت على برمجة المعادلات في الفقرة (2-3) وتحويلها إلى صندوق يحتاج إلى بعض المعطيات كي يقوم بأداء مهمته كمرحلة حماية. يوضح الشكل (10) التركيب الداخلي لمرحلة الخروج عن التزامن.



الشكل (10) التركيب الداخلي لمراحل الخروج عن التزامن

#### 2-4-3 : تمثيل مرحلة المسافة :

تعد المرحلة المسافية من المراحل القديمة والتي تم دراسة خواصها وتنظيماتها من قبل كثير من الباحثين ، وفي هذا البحث اعتمد أسلوب برمجي بسيط لإصدار إشارة الإفلات من قبل المرحلة وقد وضحت بالفقرة (3-3) ، إن إشارات الإفلات الصادرة عن المرحلة هي إشارة كشف عطل أو اضطراب يتم الإشارة إليها من قبل مرحلة الخروج عن التزامن وقد يتم كبحها أو يسمح لها بالمرور لتعطى الإشارة النهائية وهي الإشارة التي تصل إلى قاطع الدورة . ويوضح الشكل (11) التركيب الداخلي لمرحلة المسافية .

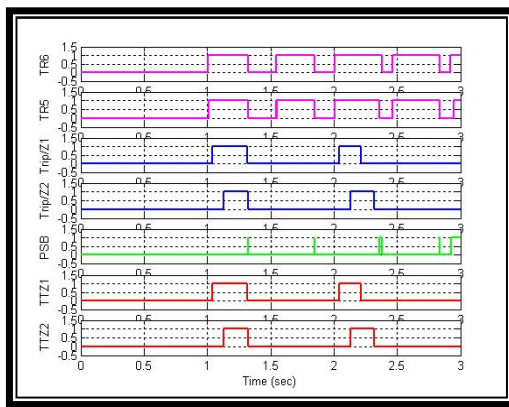


الشكل (11) يوضح التركيب الداخلي لمرحلة المسافية المصممة بواسطة برنامج الماتلاب

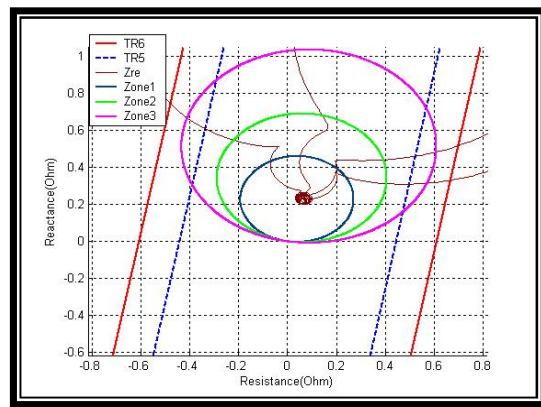
## 5: التناوج والمناقشة:

### 1-5: المنظومة في حالة التشغيل المستقر بوجود الأعطال:

يتم في هذه الحالة بيان تأثير العطل الثلاثي الطور على أداء المرحلتين وكيفية إصدار إشارات الإفلات من قبلهما ، لأن العطل الثلاثي الطور يعد من الأعطال المتماثلة. وهذا العطل يدفع إلى التغير في سلوكية المنظومة فتتغير الممانعة المقاسة من قبل المرحلتين كما هو مبين في الشكل المكبر (12) الذي يوضح خواص المرحلتين المسافية ومرحلة الخروج عن التزامن مع مسار الممانعة الظاهرية المقاسة من قبلهما. حيث نلاحظ أن مسار الممانعة يخترق الخواص التشغيلية للقطاع الأول والثاني للمرحلة المسافية مع حدود الكشف للمرحلة التزامنية ، فعند حصول هذه الحالة يستوجب على مرحلة الخروج عن التزامن أن لا تصدر إشارة المرحلة المسافية وتسمح لها بالمرور معلن بذلك وجود عطل صريح في المنظومة وهذا ما يوضحه الشكل (13) الذي يبين تعاقب إشارات الإفلات مع إشارة الكبح للمرحلة المسافية.



الشكل (13) تعاقب إشارات الإفلات للمرحلتين مع إشارة الكبح للمرحلة المسافية



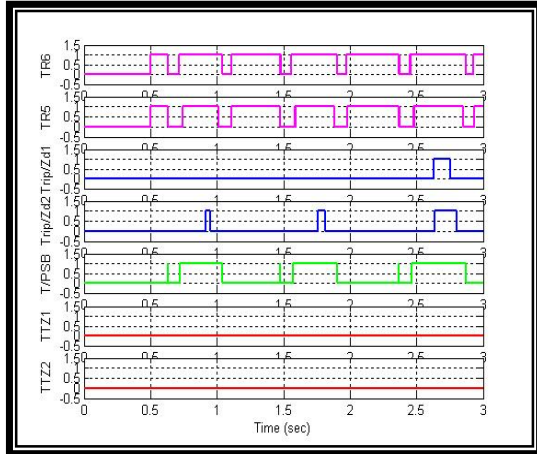
الشكل (12) خواص المرحلتين مع مسار الممانعة الظاهرية المقاسة من قبلهما لحالات المستقرة بوجود عطل ثلاثي الطور

### 2-5: المنظومة في حالة التأرجح دون وجود العطل (الحالة المستقرة) :

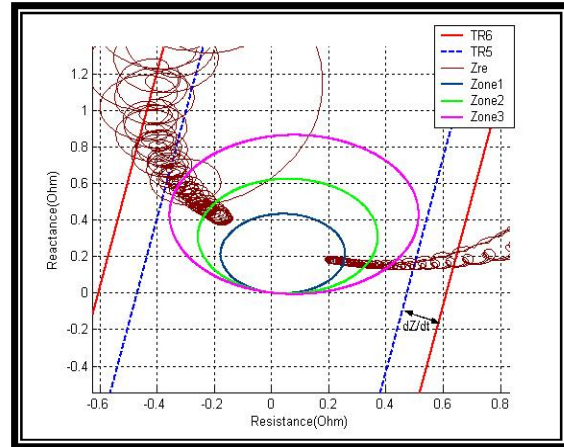
تبين هذه الحالة تأثير التأرجح على المرحلة المسافية وما يصاحبها من فعاليات من قبل مرحلة الخروج عن التزامن ، ولتبين حالة التأرجح المستقر في القراءة وتمييزه عن التأرجح غير المستقر نقوم بدراسة هذه الحالة وهذا التأرجح ناتج عن تغير في قيمة زاوية القراءة إذ أنها أعطيت بمقدار ( $\delta = 110^\circ$ ).

يوضح الشكل (14) المسارات الدائرية التي تسلكها الممانعة الظاهرية المنظورة من قبل مرحلة المسافة عندما تتعانى المنظومة من تأرجح في القراءة، إن المرحلة سوف تتحسس بتأرجح القراءة المستقر إذا كان زمن بقاء الممانعة المقاسة من قبل المرحلتين بين الحاجبين ( $dZ/dt$ ) أكبر من زمن التنظيم أو زمن المؤقت الأول (OSBD) وهذا يصنف على أنه تأرجح قدرة مستقر وعلى أساسه سوف تطلق مرحلة الخروج عن التزامن إشارة لـ كبح تأرجح القراءة (PSB) وتقوم هذه الإشارة بمنع المرحلة المسافية أو أي مرحلة أخرى من إيصال إشارتها إلى قاطع الدورة. إن تتبع إشارات الفصل وعد المرات التي من المحتتم أن تعمل بها المرحلة المسافية وإشارة الكبح من قبل مرحلة الخروج عن التزامن والإشارة النهائية للمرحلة المسافية بعد أن يتم الإشراف عليها من قبل مرحلة الخروج عن التزامن موضحة في الشكل (15). حيث نلاحظ في الحقلين الأول والثاني عدد المرات التي يخترق فيها مسار الممانعة الحدود الداخلية والخارجية لمرحلة الخروج عن التزامن (TR6,TR5) وتصدر المرحلة نتيجة لذلك إشارة إفلات معلن ببداية التغير في زمن ( $\Delta Z$ ) وتقارن سرعة تغير مسار الممانعة مع زمن التنظيم (Setting Time) وتصدر نتيجة لذلك إشارة كبح (PSB) للمرحلة المسافية إذا كانت سرعة ( $\Delta Z$ ) أكبر من زمن التنظيم وتقوم هذه الإشارة بكبح ومنع ظهور أي إخراج من قبل المرحلة المسافية عندما تكون بصيغة (1) منطقية وكما يبين الشكل اخراجات المرحلة المسافية (Trip/Zd1,Trip/Zd2) قبل الإشراف عليها نجد أن المرحلة سوف تكون معرضة للعمل مرة واحدة بالنسبة للقطاع الأول ، وثلاث مرات بالنسبة للقطاع الثاني في حين يستوجب عدم إصدار أي إشارة من قبل مرحلة المسافة وذلك لعدم وجود عطل ولكن التأرجح ليس

ضمن إطار التأرجح غير المستقر في القدرة لأن مرحلة الخروج عن التزامن استكشفت هذه الحالة وأصدرت إشارة الكبح ، ولكن عند جمع إشارات الكبح الصادرة من قبل مرحلة الخروج عن التزامن مع إشارات الإفلات لقطاعات المراحل المسافية تكون النتيجة النهائية عدم إطلاق أي إشارة من قبل المراحلتين كما هو واضح في الحقلين الآخرين حيث يمثل الحقل (TTZ1) إشارات الإفلات لقطاع الأول في حين يمثل (TTZ2) إشارات الإفلات لقطاع الثاني.



الشكل (15) إشارات الإفلات من قبل المراحلتين مع إشارة الكبح والإشارة النهائية الواسطة إلى قاطع الدورة



الشكل (14) مسارات الممانعة مع خواص المراحلتين

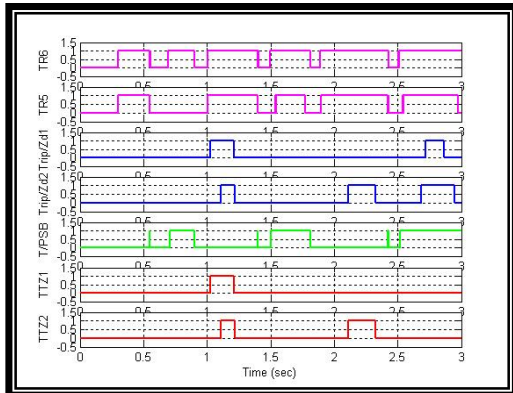
#### 1-2-5 المنظومة في حالة التأرجح مع وقوع الأعطal :

في هذه الحال تم وضع عطل ثالثي الطور على مسافة (40%) من طول الخط وضمن المدة الزمنية المحصورة بين (1.1-1.2 sec) والطلع الثاني يقع على مسافة (100%) من طول الخط وضمن المدة الزمنية المحصورة بين (2-2.3 sec) من الواضح أن العطل الأول يقع في قطاع الحماية الأولى للمرحلة المسافية في حين يقع العطل الثاني في القطاع الثاني .

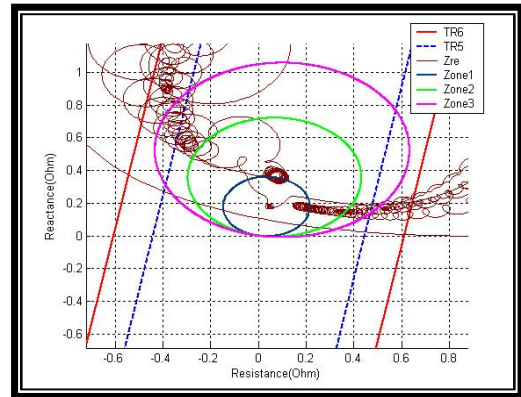
ويوضح الشكل (16) المسارات الدائرية للممانعة الظاهرة التي تنظرها المراحلتين حيث يبدو واضحاً أن هذا المسار يختلف الخواص التشغيلية لكلا المراحلتين أكثر من مرة مسبباً بإصدار إشارات إفلات غير ضرورية من قبل مرحلة المسافة ، أما في حالة وقوع العطل الحقيقي الأول في المنظومة فنجد أن الممانعة سوف تدخل الخواص التشغيلية لقطاع الأول والثاني لمرحلة المسافة ويستمر بقاءها داخل القطاع إلى حين زوال التأثير المسبب للعطل في حين يدفع العطل الثاني بالمانعة للاستقرار داخل الخواص التشغيلية لقطاع الثاني ولا تتعدي الحدود المسمحة لقطاع الأول .

كما يوضح الشكل (17) تعاقب إصدار إشارات الإفلات من قبل المراحلتين مع إشارة الكبح التي تسيطر على إشارة المرحلة المسافية وتقوم بكتابتها إذا ما اكتشفت حصول تأرجح مستقر في القدرة . ففي هذا الشكل نجد أن المرحلة المسافية معرضة للعمل مرتين بالنسبة لقطاع الأول وثلاث مرات بالنسبة لقطاع الثاني . حيث أن الإشارة التي تطلق من قبل مرحلة المسافة الأولى في القطاع الأول هي بسبب اكتشاف المرحلة لوجود عطل في هذا القطاع ، أما الإشارة الثانية فهي بسبب التأرجح . أما عن إطلاق الإشارات في القطاع الثاني فتكون الإشارة الأولى ناتجة عن تأثير وجود عطل في القطاع الأول أما الإشارة الثانية فهي بسبب وجود العطل في القطاع الثاني فقط والإشارة الثالثة تكون عائدة إلى حصول حالة التأرجح في القدرة .

أما بالنسبة للإشارة النهائية التي يتم الإشراف عليها من قبل مرحلة الخروج عن التزامن فنجد أن المرحلة سوف تطلق مرتين إشارة الكبح ، وتقوم بكتابحة الإشارة القادمة من القطاعين الأول والثاني والناتجة بسبب تأرجح القدرة لأن هذا التأرجح قد وقع في حيز التأرجح المستقر للمنظومة وتسمح لإشارة الإفلات الناتجة بسبب الأعطال بالمرور وكذلك نجد أن الإشارة الناتجة عن العطل الأول يتم إصدارها من قبل كلا القطاعين إلا أن قاطع الدورة سيميز بينهما لأن الإشارة الواسطة إليه ستكون قادمة من القطاع الأول بسبب وجود فرق زمني بين الإشارتين . أما العطل الثاني فيتم اكتشافه من قبل القطاع الثاني فقط ، والذي يكون المسؤول عن إيصالها إلى قاطع الدورة .



الشكل (17) تعاقب إصدار إشارات الإفلات مع وجود الأعطال في القطاعين الأول والثاني



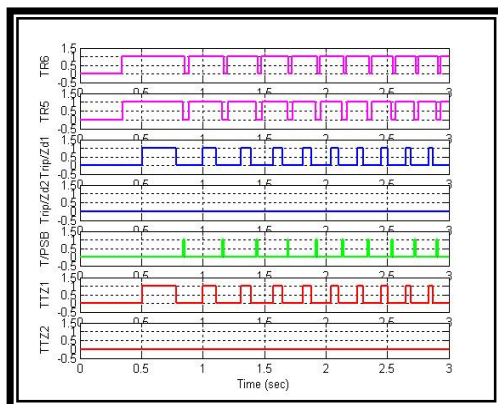
الشكل (16) مسار الممانعة المنظورة من قبل المرحلتين عندما تكون المنظومة في حالة التأرجح مع وجود عطل

### 3-5: المنظومة في حالة التأرجح غير المستقر دون وجود عطل:

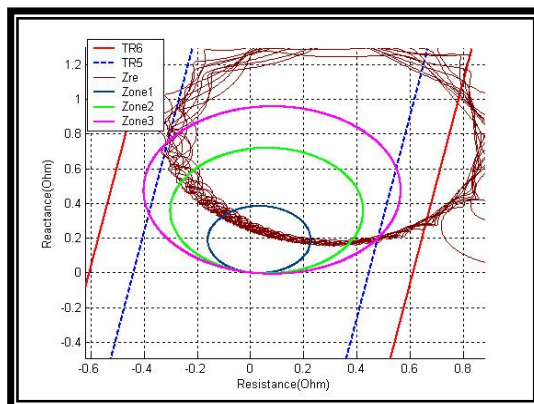
في كثير من الأحيان تتعرض الممانعة إلى حصول حالة التأرجح وهذا التأرجح في القدرة قد يحصل ويسلك سلوكاً مضملاً إلى أن يصل حالة ، الاستقرار أو قد ينقاوم ويدفع بالمنظومة إلى حالة الاستقرار والخروج عن التزامن وإن السبب في هذا التأرجح هو في زاوية القدرة (8) حيث أنها وضعت بمقدار (170°).

ويوضح الشكل (18) رسم مكبر لمسارات الممانعة الظاهرة المنظورة من قبل المرحلة المسافية ومرحلة الخروج عن التزامن ونلاحظ في هذه الحالة أن مسارات الممانعة الظاهرة تتمل نفسها مشكلة بذلك دوائر متعددة المركز ، إذ يخترق هذا المسار الخواص التشغيلية لكلا المرحلتين مسببة في ذلك عدم انتظام في إصدار إشارات الإفلات من قبل مرحلة المسافة وفي مثل هذه الحالة يصبح من الضوري استخدام مرحلة الخروج عن التزامن لتمييز نوع التأرجح وهل يقع في حيز التأرجح المستقر أو التأرجح غير المستقر .

إن تتبع إشارات الإفلات وإشارة الكبح موضحة في الشكل (19) وفي هذا الشكل نجد أن المرحلة المسافية ستكون معرضة لإصدار تسع إشارات إفلات في القطاع الأول وإشارتي إفلات في القطاع الثاني . في حين تقوم مرحلة الخروج عن التزامن بمقارنة سرعة تغير مسار الممانعة مع التنظيم الزمني للمرحلة وتتصدر إشارات كبح لعمل المرحلة المسافية عندما يكون التأرجح ما يزال في حالته المستقرة ولكن مع زيادة التأرجح سوف يخرج عن الظروف المستقرة ويدفع بالمنظومة إلى العمل بوضع غير مستقر فقوم وحدات فصل الخروج عن التزامن بأخذ دورها وتسمح لإشارة المرحلة المسافية بالعبور لأن سرعة المسار عند التأرجح غير المستقر تزداد كثيراً عن ما هي عليه في حالة التأرجح المستقر . وهذا ما نلاحظه في الشكل (19) حيث أن المرحلة المسافية سوف لن تصدر إشارات إفلات فعلية إلا بعد أن يدخل التأرجح في الحالة غير المستقرة في حين تكبح الإشارات الأولى لأن التأرجح في تلك المدة الزمنية يكون في حيز التأرجح المستقر .



الشكل (19) تتبع إصدار إشارات الإفلات عند حصول حالة التأرجح غير المستقر في القدرة



الشكل (18) يوضح مسار الممانعة الظاهرة عند حصول تأرجح غير مستقر في القدرة

## 6. الاستنتاجات:

ان تمثيل ونمذجة مرحلة تعمل على كشف التأرجح في القدرة أو ظروف الخروج عن الحالة الاعتيادية (Out of Step Detection) يمكن أن تعمل في أي منظومة كهربائية بصورة مفردة أو تكون ملزمة لمراحل أخرى كالتي تم دراستها في هذا البحث إذ يمكن أن تعمل مع المراحلات الاتجاهية والمسافية والفرقية وغيرها. فعملها لحماية خطوط نقل القدرة الكهربائية يستوجب توفر منظومة مكافحة ثنائية التغذية . ولكن سرعة انتقال أو تغير الممانعة في حالة العطل أو في حالة التأرجح غير المستقر لهذه المرحلة أكبر منها في حالة التأرجح المستقر ، لذا تمأخذ هذه الفائدة بنظر الاعتبار لتحقيق التمييزية ما بين التأرجح المستقر من جانب والتأرجح غير المستقر وحالات الأعطال من جانب آخر .

كما إن قيمة ( $\delta$ ) هي التي تحدد عمل المنظومة الكهربائية إذ أنها في حالة التشغيل الطبيعي للمنظومة تكون الزاوية بحدود ( $0^\circ \leq \delta \leq 60^\circ$  ) أو ( $300^\circ \leq \delta \leq 360^\circ$  ), وقد تعاني المنظومة من حالات التأرجحات البسيطة التي لا تتجاوز فيها زاوية ( $\delta$ ) عن ( $15^\circ$ ) أو حسب معاملات المنظومة والتي لا تؤثر سلباً على عمل المرحلة المسافية. أما في حالة تأرجح القدرة المستقر فتكون قيمة الزاوية ( $120^\circ \leq \delta \leq 60^\circ$  ) أو ( $300^\circ \leq \delta \leq 240^\circ$  ) حيث تكون المنظومة في حالة الاستقرارية العابرة (Transiently stable) أي إن وجود تأرجح القدرة يجعل المنظومة تعمل بصورة فلقة ولا يعني بالضرورة أن المنظومة غير مستقرة فقد يكون أي اضطراب طفيف هو المسبب لانتقال المنظومة إلى الحالة غير المستقرة. إما في حالة كون التشغيل خارج نطاق العمل الطبيعي أو خارج تزامن المنظومة فان قيمة الزاوية ( $\delta$ ) تكون بحدود ( $120^\circ \leq \delta \leq 240^\circ$  )، لذلك يحدث ما يعرف بتأرجح القدرة غير المستقر (Unstable Power Swing) والتي تعطي ظروف تشغيل صعبة جداً ، إذ تكون المنظومة في حالة عدم الاستقرارية العابرة (Transiently Unstable) لأن الفرق بين سرعتي المولدين (S و R ) سوف يكون كبيراً جداً لذلك من الضروري فصل المولدين عن بعضها لصعوبة عملهما معاً لتغذية الحمل بسبب فقدان التزامن (Loss of synchronism) ما بينهما.

باستخدام مرحلة الخروج عن التزامن OOS يمكن الكشف عن ظروف التأرجح ، كذلك يمكن حساب مقدار التغيير في الاستقرارية بوجود الاضطرابات ، هذا بالإضافة إلى أنه يمكن الحصول على ممانعة التتابع الموجب ببساطة وبقيمة مباشرة من الخط ، حيث أن مرحلة (OOS) تقوم بكم الإشارات التي تصدر عن المرحلة المسافية في أوقات التأرجح المستقر وتسمح للإشارات التي تكون في مدة التأرجح غير المستقر والأعطال بالمرور.

## 7. المصادر :

- [1] “Power Swing And Out-Of-Step Considerations Transmission Lines”, A report to the Power System Relaying Committee Of the IEEE Power Engineering Society, 2005.
- [2] D. Tziouvaras, and D. Dou, “Out-of-step protection fundamentals and advancements” , Schweitzer Engineering Laboratories, Inc. Boise , ID USA, 2003, [online]. Available at: <http://www.selinc.com/techpprs/6163.pdf>
- [3] G. Benmouyal, D. Hou, and D. Tziouvaras, “Zero-setting Power Swing Blocking Protection”, 31st Annual Western Protective Relay Conference, October 19-21, 2004, Spokane, Washington.
- [4] F. Plumptre, S. Brettschneider, Cegertec, A.J Hiebert, M. Thompson, “Validation of Out-of-Step Protection With a Real Time Digital Simulator” Electrical report, [online]. Available at: <http://www.selinc.com> .
- [5] D. Hou, S. Chen, and S. Turner, “SEL-321-5 Relay Out-of-Step Logic,” Schweitzer Engineering Laboratories, Inc. Application Guide AG97-13, July 23, 1997.
- [6] Joe Mooney and Normann Fischer, “Application Guidelines for Power Swing Detection on Power Systems”, Proceedings of the 32nd Western Protective Relay Conference, Spokane, WA, October 2005.
- [7] Gerhard Ziegler, “Numerical Distance Protection, Principles and Application”, Siemens,Erlangen,Publics-MCD-Verl.1999.